

11

ОПРЕДЕЛЕНИЕ РАБОТЫ ВЫХОДА  
 МОНОКРИСТАЛЛОВ  $EuBa_2Cu_3O_{7-x}$   $TbBa_2Cu_3O_{7-x}$   
 И  $DyBa_2Cu_3O_{7-x}$

Ю.А. Власов, О.Л. Голубев,  
 А.А. Самохвалов, Н.Н. Сюткин,  
 Е.Ф. Таланцев, Н.М. Чеботаев,  
 В.Н. Шредник

В общем комплексе изучения свойств поверхности новых материалов высокотемпературной сверхпроводимости (ВТСП) определение работы выхода  $\varphi$  занимает важное место, поскольку  $\varphi$  — это не только параметр, регулирующий эмиссию электронов и ионов, но прежде всего простая характеристика, коррелирующая со структурой поверхности, степенью ее однородности и чистоты. Однако данных по измерению  $\varphi$  сверхпроводящих перовскитов крайне мало, пока речь не идет о каком-либо детальном анализе обширного материала, речь идет о получении первых сведений.

Разумеется,  $\varphi$  интересно измерить при низких температурах, когда материал является сверхпроводящим (и когда его поверхность в вакууме сохраняет свой состав и структуру). При этом метод должен обеспечивать контролируемую чистоту поверхности и позволять судить о ее реальной структуре. К таким методам относятся методы полевой эмиссионной микроскопии, использующие автоэлектронную эмиссию в сочетании с полевой ионной для определения  $\varphi$ , полевое испарение и полевую десорбцию для очистки поверхности, полевую ионную микроскопию с атомным разрешением, а также полевую ионную спектроскопию (атомный зонд) для детальной диагностики поверхности. Именно эти методы были применены в данной работе.

В качестве объектов были выбраны монокристаллы соединений  $MeBa_2Cu_3O_{7-x}$ , где  $Me: Eu, Tb$  и  $Dy$ , а  $x$  около 0.1 с температурой фазового перехода  $T_c$  около 90 К. Монокристаллы изготавливались по технологии, описанной для  $YBa_2Cu_3O_{7-x}$  в [1]. Объекты полевой эмиссионной микроскопии приготавливались по методике, описанной там же. Эксперименты проводились в камере широкогоугольного атомного зонда [1]. Порядок обработки образцов и измерений был следующий: 1) в ионном режиме с азотом в качестве изображающего газа при давлении  $10^{-6}$ — $10^{-4}$  Тор визуализировалась с атомным разрешением поверхность  $MeBa_2Cu_3O_{7-x}$ , контролируемым образом проводилось полевое испарение до выявления регулярной структуры, присущей кристаллу; 2) в электронном режиме в вакууме на уровне  $10^{-9}$  Тор (использовались электроразрядный и титановый сорбционный насосы) наблюдались автоэлектронные изображения и снимались вольт-амперные характеристики;

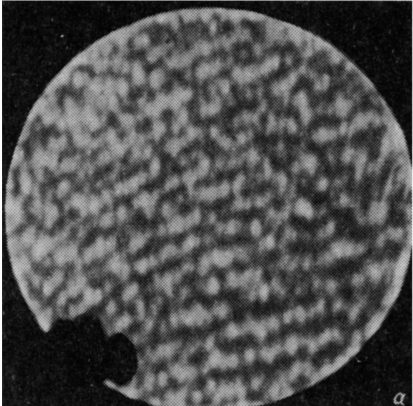
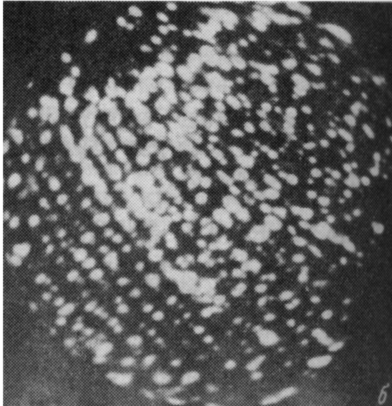
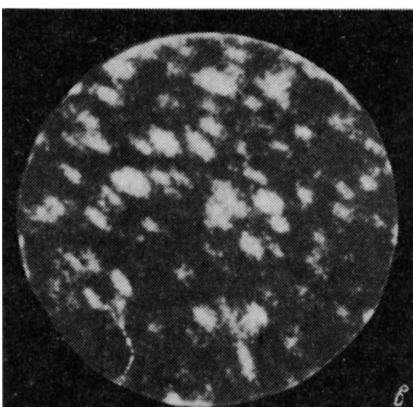
*a**b**c*

Рис. 1. Полевые ионные изображения монокристаллов  $\text{EuBa}_2\text{Cu}_3\text{O}_{7-\text{x}}$  (а),  $\text{TbBa}_2\text{Cu}_3\text{O}_{7-\text{x}}$  (б) и  $\text{DyBa}_2\text{Cu}_3\text{O}_{7-\text{x}}$  (в). Изображающий газ — азот,  $T \approx 80$  К. Напряжения  $V$ : 12500 В (а), 11000 В (б), 7400 В (в). Снимки „а“ и „в“ получены с части поверхности образцов в камере атомного зонда, снимок „б“ — в полевом ионном микроскопе.

3) в случаях перовскитов с  $\text{Eu}$  и  $\text{Tb}$  электронным измерением и повторным наблюдением ионных картин предшествовали опыты по получению разнообразных спектров в режиме атомного зонда, эти спектры давали представление о составе поверхности и о примесях, удаляемых в процессе ее очистки. Все перечисленные выше действия производились при охлаждении образца жидким азотом.

На рис. 1 приведены примеры ионных изображений для трех изученных материалов. Во всех случаях ориентация монокристалла была такова, что ось скругленного полевым испарением образца в виде острого конца пирамидального осколка была перпендикулярна оси  $C$ . Вблизи вершины образца ось  $C$  лежала в плоскости поверхности, а в окрестностях вершины составляла с поверхностью некоторый небольшой угол. После надлежащего полевого испарения скругленная поверхность кристалла состояла из ступеней, примерно параллельных оси  $C$  на краях которых оказывались атомы редкоземельного металла, выявленные селективно при полевой ионизации азота [2]. Ряды таких ступеней отчетливо выделяются на производимых ионных изображениях кристаллов  $\text{EuBa}_2\text{Cu}_3\text{O}_{7-\text{x}}$  (рис. 1, а) и  $\text{TbBa}_2\text{Cu}_3\text{O}_{7-\text{x}}$  (рис. 1, б).

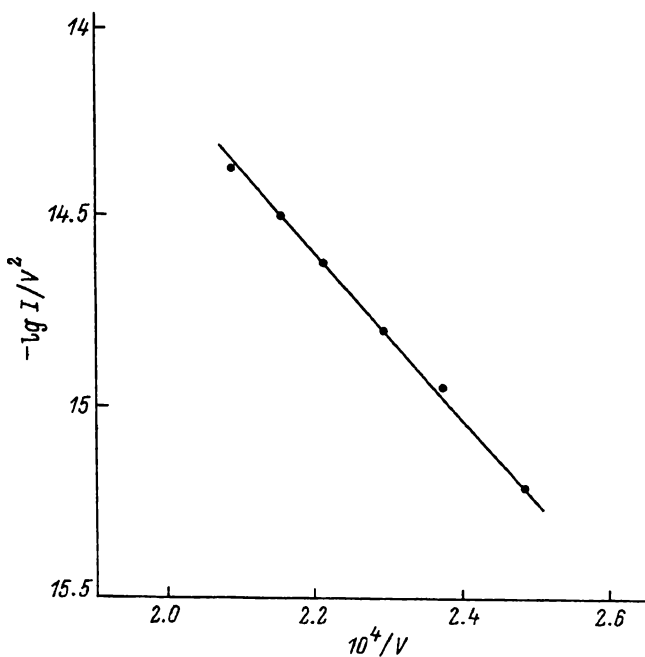


Рис. 2. Характеристика Фаулера-Нордгейма для образца из  $\text{EuBa}_2\text{Cu}_3\text{O}_{7-x}$ , использовавшегося для определения работы выхода.

Теория автоэлектронной эмиссии Фаулера-Нордгейма [3], которой мы пользовались для определения  $\varphi$ , построена для металлов. Мы вынуждены были допустить, что в своей экспоненциальной части формула для плотности тока  $j$  верна и для исследуемых проводящих перовскитов. Вольт-амперная характеристика строилась в координатах  $\lg(I/V^2) = f(1/V)$  (так называемая характеристика Фаулера-Нордгейма (Ф-Н)). Здесь  $I$  — ток автоэлектронной эмиссии,  $V$  — электрическое напряжение. Пример такой характеристики для образца, содержащего  $\text{Eu}$ , показан на рис. 2. В наклон характеристики Ф-Н кроме известных констант входит отношение  $\varphi^{3/2}/\beta$  [3], где  $\beta$  — полевой множитель,  $\beta = E/V$  ( $E$  — напряженность электрического поля). Для того, чтобы по наклону характеристики Ф-Н вычислить  $\varphi$ , необходимо знать  $\beta$  из каких-либо дополнительных опытов.

Мы определяли  $\beta$  из так называемого поля наилучшего изображения  $E_{\text{ИИ}}$  в полевом ионном микроскопе [4], которое для данного изображающего газа примерно постоянно для различных металлов. Для оценки  $\beta$  могли быть полезны также величины полей появления и исчезновения элементов ионного изображения, хотя

№№ п/п	Материал моноцирстала	Ориентация образца	$\varphi$ (эВ)	Примечания
1	$TbBa_2Cu_3O_{7-x}$	Ось об- разца пер- пендику- лярна оси с	$4.0 \pm 0.2$	
2	$TbBa_2Cu_3O_{7-x}$		$5.1 \pm 0.2$	Непосредственно по- сле полевого испарения в атомном зонде
3	$TbBa_2Cu_3O_{7-x}$		$3.9 \pm 0.2$	После многократных перегрузок автоэмис- сионным током
4	$TbBa_2Cu_3O_{7-x}$		$4.1 \pm 0.4$	После глубокого по- левого испарения с затуплением остряя
5	$DyBa_2Cu_3O_{7-x}$		$5.4 \pm 0.4$	

Эти величины несколько зависят от давления изображающего газа. Все эти поля при получении ионных картин в азоте и при охлаждении жидким азотом были прокалиброваны по вольфраму, ориентированному по направлению  $\langle 111 \rangle$ , для которого  $\varphi \approx 4.4$  эВ хорошо известна. Однако применение полученных таким путем  $\varphi$  приводило к невероятно большим величинам  $\varphi$  (до 7-8 эВ) исследуемых материалов. Кристаллы изучаемых перовскитов отличаются от металлов наличием сильно полярных ионных межатомных связей. Такие связи должны усиливать полевой контраст у поверхности и снижать  $E_{\text{ни}}$ . В качестве подходящей модели проводящей поверхности с полярными связями, похожими на связи в изучаемых материалах, была выбрана поверхность микровыступа, выращенного в центре образца вольфрама с ориентацией  $\langle 111 \rangle$  по оси, который после надлежащей калибровки  $\beta$  (в чистом состоянии по характеристике Ф-Н) был подвергнут коррозии в течение месяца в атмосфере остаточных газов при давлении  $10^{-3} - 10^{-4}$  Тор при комнатной температуре. При этом рельеф поверхности сохранялся (он резко менялся лишь после прогрева до красного каления), ей приписывался прежний коэффициент  $\beta$ . Однако  $E_{\text{ни}}$  в атмосфере азота (при давлении  $10^{-4} - 10^{-6}$  Тор) оказалось в 1.7 раза ниже, чем для чистого вольфрама, а поля появления и исчезновения в 1.8 раза ниже. Эти величины полей, а именно  $E_{\text{ни}} = 1.32 \cdot 10^8$  В/см (и  $6.5 \cdot 10^7$  В/см и  $7 \cdot 10^7$  В/см для полей появления и исчезновения), были приняты затем для определения  $\beta$  материалов ВТСП. Было бы лучше воспроизвести на поверхности с известной и не меняющейся от самой процедуры  $\beta$  именно те структуры и связи, которые свойственны изучаемым материалам ВТСП. Однако осуществление этого составляет особую проблему. Некоторая неопределенность, связанная с предложенным выбором  $E_{\text{ни}}$  (которая может быть уменьшена при последующих лучших калибровках), – цена за возможность пользоваться уникальными по контролируемости очистки и визуализации поверхности полевыми эмиссионными методами.

С применением описанного определения  $\beta$  по наклону характеристик Ф-Н были измерены  $\varphi$  в пяти случаях, представленных в таблице.

Полученные величины  $\varphi$  колеблются в пределах 3.9–5.4 эВ для этих трех близких по природе веществ и в пределах 3.9–5.1 эВ для одного и того же образца с тербием. Разброс связан, на наш взгляд, с различным состоянием поверхности после обязательного для удаления адсорбированных газов полевой десорбцией подъема напряжения до максимального  $V$ , использовавшегося в ионном режиме. Большие погрешности обусловлены трудностями определения на глаз состояния с наилучшим (наиболее резким и четким) изображением. Сам отбор автоэлектронного тока изменяет состояние поверхности тем сильнее, чем больше ток, поэтому слишком большие токи (выше 200 нА) не отбирались. При перегрузках током происходят „срывы“: слабые, изменяющие  $\beta$ , или сильные, практически уничтожающие образец.

В известных нам определениях  $\varphi_{YBa_2Cu_3O_{7-x}}$  по методу КРП [5] и автоэмиссионными методами [6] были получены величины около 6 эВ, а также сообщалось о возрастании  $\varphi$  до 7–8 эВ по мере обеднения поверхности кислородом. Опыты эти проводились при комнатной температуре. В наших случаях все определения выполнены при охлаждении образцов жидким азотом, в вакууме на уровне  $10^{-9}$  Тор с предварительным удалением полевым испарением многих атомных слоев. Поэтому мы можем утверждать, что измеренные  $\varphi$  в интервале 3.9–5.4 эВ действительно относятся к изучаемым монокристаллам, поскольку их типичная структура подтверждена прямым наблюдением рядов, параллельных оси с с атомным разрешением, а состав (наличие бария, редкоземельных металлов, отсутствие гидроокисей) проверен *in situ* с помощью атомного зонда.<sup>1</sup>

#### Список литературы

- [1] Власов Ю.А., Голубев О.Л., Самохвалов А.А., Сюткин Н.Н., Таланцев Е.Ф., Чеботаев Н.И., Шредник В.Н. // Письма в ЖТФ. 1989. Т. 15. В. 16. С. 62–67.
- [2] Месяц Г.А., Сюткин Н.Н., Ивченко В.А., Таланцев Е.Ф. // Письма в ЖТФ. 1988. Т. 14. В. 16. С. 1504–1507.
- [3] Ненакаливаемые катоды / Под ред. М.И. Елинсона, М.: Советское радио, 1974.
- [4] Мюллер Э.В., Чонь Т.Т. Автоионная микроскопия (принципы и применения). М.: Металлургия, 1974.

<sup>1</sup> Эксперименты с атомным зондом будут подробно описаны в других статьях.

- [5] Ведула Ю.С., Месяц В.Г., Поплавский В.В.,  
Шкуратов С.Н. Тез. докл. 2 Всес. конф. по ВТСП,  
Киев. 1989.
- [6] Бахтизин Р.З., Месяц В.Г., Шкуратов С.И.  
Тез. докл. 1-го Всес. сов. по ВТСП, Харьков, 1988, с. 147;  
Крейндель Ю.Е. Доклад на Совещании по ВТСП,  
Гатчина, май 1989.

Физико-технический  
институт им. А.Ф. Иоффе  
АН СССР, Ленинград

Поступило в Редакцию  
10 октября 1989 г.

Письма в ЖТФ, том 15, вып. 24

26 декабря 1989 г.

(07)

## ФОРМИРОВАНИЕ ВЫСОКОЧАСТОТНОЙ ПОСЛЕДОВАТЕЛЬНОСТИ ПИКОСЕКУНДНЫХ ОПТИЧЕСКИХ ИМПУЛЬСОВ НА ДЛИНЕ ВОЛНЫ 1.32 МКМ

В.Ю. Петрункин, В.С. Сысуков,  
А.С. Щербаков, Д.З. Гарбузов,  
Ю. В. Ильин, И.С. Тарасов

Для высокоскоростных информационных систем представляют интерес источники сверхкоротких оптических импульсов, работающие в диапазоне длин волн 1.3–1.6 мкм, где кварцевое волокно обладает предельно малыми потерями, имеется точка нулевой дисперсии, а также возможна реализация солитонного режима передачи информации. В качестве источников сверхкоротких импульсов с высокой частотой повторения в ИК-диапазоне могут быть использованы:  
а) солитонный лазер на центрах окраски [1]; б) явление ВКР-генерации света в волоконном световоде при накачке  $YAG : Nd$ -лазером с синхронизацией мод [2]; в) эффект модуляционной неустойчивости [3–5], позволяющий получать пикосекундные импульсы с частотами повторения до нескольких сотен гигагерц. Однако применение таких источников в информационных системах не оправдано в связи с тем, что для солитонного лазера и ВКР-генератора необходимы мощные лазеры накачки, установки оказываются очень громоздкими, а в источниках на основе модуляционной неустойчивости возникают трудности, связанные с устранением чирпа в импульсах. Таким образом, для практического применения в системах передачи и обработки информации, а также в оптических компьютерах целесообразно опереться на использование компактного источника непрерывной последовательности сверхкоротких импульсов (СКИ) с высоким КПД, являющегося полностью адекватным таким системам. Этим требованиям, по-видимому, удовлетворяет источник СКИ на основе полупроводникового лазера.